УДК 541.182.2

ФИЗИЧЕСКАЯ ХИМИЯ

Б. Ф. САДОВСКИЙ, Г. И. БАБЕРКИНА, Н. Д. РОЗЕНБЛЮМ, академик И. В. ПЕТРЯНОВ

О МИГРАЦИИ ЖИДКОСТИ ПО ВОЛОКНАМ ПРИ ФИЛЬТРАЦИИ ТУМАНОВ

При фильтрации туманов волокнистыми фильтрами происходит их отравление. Фильтрующие характеристики таких фильтров ухудшаются, сопротивление и проскок тумана возрастают. Осаждаясь на волокнах фильтрующего слоя, капли тумана в зависимости от природы жидкости и волокна, а также диаметра волокна, полностью или частично его смачивают с образованием в дальнейшем крупных вторичных капель (1). Между этими каплями находится устойчивый слой жидкости (2), по которому проис-

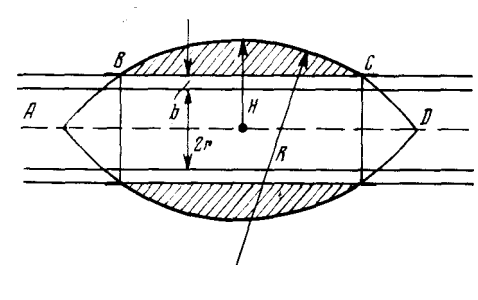


Рис. 1

ходит перетекание жидкости и скатывание крупных капель, достигших определенного, критического размера.

При дальнейшей работе фильтра или подаче большего количества тумана происходит накопление жидкости на волокне в виде вторичных крупных капель, расположенных на малых расстояниях друг от друга, наподобие бус. Периодическое освобождение волокна от таких капель происходит под действием силы тяжести или напо-

ра газа. Если вес капли становится соизмерим с силой сцепления с волокном, то под действием силы тяжести она скатывается по волокну, захватывая на своем пути все сидящие на нем капли. Рост вторичных капель происходит преимущественно за счет жидкости, содержащейся в частицах тумана, уловленных волокном, свободным от вторичных капель, так как эффективность захвата частиц тумана тонкими волокнами много больше, чем для крупных капель.

Перетекапие жидкости по волокну происходит и тогда, когда на фильтр не поступает туман и поток газа. При малых концентрациях тумана на относительно толстых колокнах образовавшееся небольшое количество канель остается без изменения в течение длительного времени, так как осаждающаяся жидкость успевает мигрировать по волокну в локальные места фильтра.

Если в какой-то момент времени, когда на волокие уже образовались капли, прекратить подачу тумана и наблюдать в микроскоп за волокном, то можно заметить, что некоторые капли постепенно уменьшаются в размерах, в то время как другие, более крупные увеличиваются. Так как эксперименты проводили с труднолетучими жидкостями, изотермическая перегонка практически отсутствовала. Перетекание жидкости из малых капель в крупные происходит вследствие различия внутреннего давления жидкости в каплях, которое увеличивается с уменьшением размера капли и может быть описано уравнением:

$$dV/dt = KP/l, (1)$$

где dV/dt изменение объема капли со временем, P — внутреннее давлени6

 ${f 8}$ капле, l — расстояние, на которое перетекает жидкость, K — коэффициент пропорциональности.

Внутреннее давление в капле может быть записано:

$$P = \sigma\left(\frac{1}{R} + \frac{1}{H}\right),\tag{2}$$

где σ — поверхностное натяжение капли, P и H главные радиусы кривизны капли. Капля может быть представлена в виде фигуры, полученной при вращении сегмента вокруг оси волокна, рис. 1.

Подставив значение P из (2) в (1) и проинтегрировав изменение объе-

ма капли за время dt, получим:

$$v_t = \frac{K\sigma}{l} \int_0^t \left(\frac{1}{R} + \frac{1}{H}\right) dt.$$

Зная объем капли в момент времени t и вычислив значение интеграла $\int\limits_0^t \left(rac{1}{R} + rac{1}{H}
ight) dt$, можно определить $K\sigma$ константу, характеризующую скорость

Объем тела, полученный при вращении сегмента (рис. 1, ABCD) вокруг оси волокна AD, минус объем тела, полученного при вращении дуг AB и

СО и минус объем волокна, на котором сидит капля, будет:

$$\begin{aligned} \boldsymbol{v}_t &= \frac{2}{3} \pi \sqrt{R^2 - [(R-H) + (r+h)]^2} \left\{ 2R^2 + (R+H)^2 - (R-H)(r+h) - 2(r+h)^2 - 2\pi R^2 (R-H) \arcsin \frac{1}{R} \sqrt{R^2 - [(R-H) + (r+h)]^2} \right. \end{aligned}$$

Интеграл $\int\limits_0^t \left(rac{1}{R} + rac{1}{H}
ight) dt$ определялся графически. Для этого, начиная с

момента времени t через определенные промежутки времени производилось фотографирование капли, по мере уменьшения (или увеличения) ее объема вплоть до полного исчезновения. По серии снимков измерялись R и H и строилась кривая зависимости 1/R+1/H от t. Площадь, ограниченная полученной кривой и абсциссой t, давала значение интеграла. Константу скорости миграции рассчитывали по формуле:

$$K\sigma = v_t / \left(\frac{1}{l_1} + \frac{1}{l_2}\right) \int_0^t \left(\frac{1}{R} + \frac{1}{H}\right) dt,$$

 l_1 и l_2 — расстояния между каплями, перекрестиями или концами волокон. При расчете делалось допущение, что поверхностное натяжение остается постоянным по всей поверхности капли и не меняется со временем. Толщину устойчивого слоя жидкости на волокне h, по которому происходит перетекание (миграция жидкости), принимали равной $4 \cdot 10^{-6}$ см (1).

Таким образом была определена величина *К*о для различных систем жидкость — твердое тело, а также для одной и той же системы в зависимости от радиуса волокна. Результаты опытов приведены в табл. 1.

Эти результаты показывают, что величина $K\sigma$ зависит от природы жидкости и волокна и может отличаться на 1.5-2 порядка. Так, на перхлорвиниле перетекание силиконового масла происходит значительно быстрее, чем на стекле, капли же по времени живут в десятки раз дольше для соизмеримых по толщине стеклянных волокон.

Увеличение радиуса волокна перхлорвинила с 0,11 до 0,73 μ дает возрастание $K\sigma$ на 4 порядка для гидрооксихлорида титана. Для волокон асбеста увеличение радиуса с 0,03 до 0,63 μ дает изменение K почти на 6 по-

рядков.

Радиус волокна, µ	Жидкость	Κσ	Пределы изменения $K\sigma$
Пе р хлорвиниловые волокна			
$0,11-0,73 \\ 0,6 \\ 0,28 \\ 0,9 \\ 1,0$	Гидрооксихлорид титана То же 75% водный раствор глицерина Силиконовое масло » »	$\left \begin{array}{c} 1,4\cdot 10^{-23}-4,4\cdot 10^{-19}\\ \mathrm{cp.}\ 8,31\cdot 10^{-21}\\ \mathrm{cp.}\ 1,92\cdot 10^{-21}\\ 16,6\cdot 10^{-18}\\ 2,53\cdot 10^{-18} \end{array}\right $	$ \begin{vmatrix} (7,5 \div 10,25) \cdot 10^{-20} \\ (0,36 \div 12,9) \cdot 10^{-21} \end{vmatrix} $
Стекловолокно			
$\substack{0,9\\1,0}$	Силиконовое масло » »	$\begin{array}{c} \text{cp. } 1,64 \cdot 10^{-20} \\ 7,1 \cdot 10^{-20} \end{array}$	$(1,53 \div 1,74) \cdot 10^{-20}$
Асбестовое волокно			
0,03-0,63 0,28 0,65 0,155 0,118 0,148	Масло 75% водный раствор глицерина То же Гидрооксихлорид титана Трикрезилфосфат 5% раствор NaCl в 75% водном растворе глицерина То же	$\begin{array}{c} 2 \cdot 10^{-25} - 9, 6 \cdot 10^{-20} \\ \text{cp. } 3, 22 \cdot 10^{-22} \\ \text{cp. } 4, 97 \cdot 10^{-20} \\ 5, 84 \cdot 10^{-23} \\ 5, 67 \cdot 10^{-22} \\ \text{cp. } 1, 0 \cdot 10^{-22} \\ \end{array}$	$ \begin{vmatrix} (0,04 \div 7,6) \cdot 10^{-22} \\ (0,33 \div 18,7) \cdot 10^{-20} \end{vmatrix} $ $ (0,042 \div 3,75) \cdot 10^{-22} $ $ (0,22 \div 2,5) \cdot 10^{-22} $
$0,28 \\ 0,65$	» » » »	cp. $1,57 \cdot 10^{-24}$ cp. $0,907 \cdot 10^{-20}$	$(0,43 \div 4,14) \cdot 10^{-24}$ $(0,09 \div 1,89) \cdot 10^{-20}$

Различие в величине K в пределах одного порядка может быть вызвано недостаточной точностью замера кривизны поверхности капли, проводившегося графически по фотоснимкам. Кроме того, для определения величины K измеряли изменение капель различного диаметра, что также сказывалось на результатах, вследствие различия в величине внутреннего давления. Некоторое влияние на K оказывает и различие в вязкости жидкостей: в тонких слоях вязкость может отличаться от нормальной в несколько раз, но это влияние невелико.

Полученные результаты показали также, что с увеличением радиуса волокна возрастает толщина устойчивого слоя жидкости на волокне между крупными вторичными каплями, по которым происходит движение жидкости.

Физико-химический институт им. Л. Я. Карпова Москва Поступило 13 IX 1971

ЦИТИРОВАННАЯ ЛИТЕРАТУРА

¹ И. В. Петрянов, Н. Д. Розенблюм, ДАН, 61, № 4, 661 (1948). ² Б. Ф. Садовский, Г. И. Баберкина и др., Зав. лаб., 35, № 4 (1969).